

## ЭФФЕКТИВНОСТЬ ОБРАЗОВАНИЯ ВАКАНСИОННЫХ И МЕЖДОУЗЕЛЬНЫХ КОМПЛЕКСОВ ПРИ ОБЛУЧЕНИИ БЕЗДИСЛОКАЦИОННОГО *n*-КРЕМНИЯ

Казакевич Л. А., Лугаков П. Ф.

Изучены процессы накопления радиационных дефектов (РД) вакансационного и междоузельного типов в бездислокационных монокристаллах *n*-кремния ( $\rho \approx 100$  Ом·см), выращенных бестигельной зонной плавкой в атмосфере аргона. На различных этапах облучения  $\gamma$ -квантами  $^{60}\text{Co}$  ( $T_{об} \leq 50$  °C) измерялись температурные ( $80 \div 400$  К) зависимости коэффициента Холла и электропроводности. Установлено, что в исследуемых кристаллах (по сравнению с контрольным кремнием, полученным в вакууме и имеющим плотность дислокаций  $N_d \approx 2 \cdot 10^4$  см $^{-2}$ ) скорость введения *E*-центров ниже, *A*-центров выше, но суммарная скорость введения РД вакансационного типа меньше. При увеличении интегрального потока  $\gamma$ -квантов эффективность образования *A*-центров уменьшается, комплексов междоузельный углерод—узловый углерод возрастает, а *E*-центров изменяется немонотонно. Объяснение полученных результатов дано с учетом того, что при выращивании бездислокационных кристаллов в их объеме формируются мелкие включения, создающие анизотропные деформационные напряжения и окруженные атмосферой фоновых примесей (кислород, углерод). Под воздействием создаваемых включениями полей к ним направленно мигрируют первичные РД, где участвуют в комплексообразовании с примесями или исчезают в результате непрямой аннигиляции.

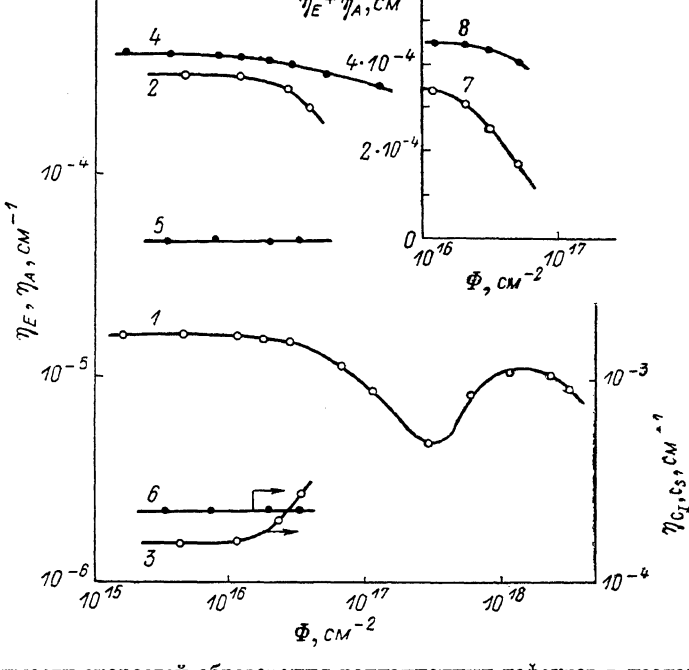
При облучении кремния образуются радиационные дефекты (РД) вакансационного (*A*-, *E*-, *K*-центры, диваканси) и междоузельного (комплексы междоузельный углерод—узловый углерод  $\text{C}_1\text{Cs}$ , междоузельный углерод—междоузельный кислород  $\text{C}_1\text{O}_1$ ) типов, скорость введения которых зависит от примесного состава и структурного совершенства исходных кристаллов [1-5]. В данной работе изучено влияние ростовых нарушений, формирующихся при получении бездислокационного кремния, на процессы накопления электрически активных РД.

Исследования проводились на монокристаллах бездислокационного *n*-кремния, выращенного бестигельной зонной плавкой в атмосфере аргона. Селективным травлением в этих образцах никаких дефектов выявлено не было. В качестве контрольного использовался содержащий ростовые дислокации ( $N_d \approx 2 \cdot 10^4$  см $^{-2}$ ) зонный кремний *n*-типа, полученный в вакууме. Были подобраны образцы с примерно одинаковым исходным удельным сопротивлением  $\rho \approx 100$  Ом·см. Концентрация кислорода и углерода, определенная по ИК поглощению, в исследуемых материалах не превышала  $3 \cdot 10^{16}$  см $^{-3}$ . Облучение осуществлялось  $\gamma$ -квантами  $^{60}\text{Co}$  при  $T_{об} \leq 50$  °C. На различных этапах облучения измерялись температурные ( $80 \div 400$  К) зависимости коэффициента Холла и электропроводности.

Из их анализа, выполненного с использованием дифференциальной методики [6], следует, что во всех исследуемых кристаллах энергетический спектр уровней основных компенсирующих РД одинаков. При этом наиболее эффективно образуются *E*-, *A*-центры и комплексы  $\text{C}_1\text{Cs}$ , вносящие в запрещенную зону акцепторные энергетические уровни  $E_e = 0.43$ , 0.19 и 0.16 эВ [1-4]. На рисунке приведены дозовые зависимости скоростей образования  $\eta = N/\Phi$  этих РД ( $N$  — концентрация дефектов,  $\Phi$  — интегральный поток  $\gamma$ -квантов). Как видно, по сравнению с контрольными в исследуемых кристаллах имеют

место следующие особенности: 1) скорость образования  $E$ -центров ( $\eta_E$ ) ниже, а  $A$ -центров ( $\eta_A$ ) выше; 2) меньше суммарная скорость образования РД вакансационного типа ( $\eta_E + \eta_A$ ); 3) при увеличении  $\Phi$  скорость образования  $A$ -центров уменьшается, а комплексов  $C_1C_8$  возрастает; 4)  $\eta_E$  немонотонно изменяется с ростом  $\Phi$ .

В зависимости от условий выращивания (скорость, осевой температурный градиент) бездислокационного кремния в его объеме образуются микродефекты [7] или не выявляемые селективным травлением мелкие включения (дефекты) [8, 9]. Можно предположить, что последние возникают при «замораживании» первичных междуузельных кластеров [10] и являются предшественниками (зародышами) свирлевых дефектов (прежде всего  $D$ -типа) [11]. Как и микродефекты [12], включения могут иметь атмосферу из фоновых примесей (кис-



Дозовые зависимости скоростей образования радиационных дефектов в исследуемых (кривые 1—3, 7) и контрольных (4—6, 8) кристаллах.

1, 4 —  $E$ -центры; 2, 5 —  $A$ -центры; 3, 6 — комплексы  $C_1C_8$ ; 7, 8 —  $E$ - и  $A$ -центры.

лород, углерод), а в кристаллической решетке кремния они создают анизотропные поля упругих напряжений, под воздействием которых к таким включениям направленно мигрируют генерируемые облучением ваканции и собственные междуузельные атомы. Здесь они участвуют в комплексообразовании с присутствующими примесями, и поэтому в исследуемых кристаллах уменьшается скорость образования  $E$ -центров в матрице, а  $A$ -центры и комплексы  $C_1C_8$  накапливаются преимущественно вблизи включений, где велика локальная концентрация кислорода и углерода ( $> 1 \cdot 10^{17} \text{ см}^{-3}$  согласно оценкам с учетом данных о скоростях введения этих РД). Из-за этого распределение  $A$ -центров и комплексов  $C_1C_8$  по кристаллу оказывается неравномерным (в виде скоплений), в результате чего при облучении исследуемых кристаллов наблюдается более сильное (в 3—5 раз по сравнению с контрольными образцами) изменение холловской подвижности носителей заряда ( $T_{\text{изм}} = 80 \text{ K}$ ), которая весьма чувствительна не только к концентрации рассеивающих центров, но и к их пространственному распределению.

Суммарные скорости введения вакансационных комплексов ( $\eta_E + \eta_A$ ), как отмечалось, в исследуемых кристаллах оказываются более низкими, чем в контрольных. Это свидетельствует о том, что в кремнии, полученном зонной плавкой в атмосфере аргона, часть первичных РД исчезает (из-за их аннигиляции

или ухода на неконтролируемые стоки), не участвуя в образовании стабильных комплексов. Так как разница между значениями  $\eta_E + \eta_A$  в исследуемых и контрольных образцах возрастает при увеличении  $\Phi$  (кривые 7, 8), то это указывает на эффективное исчезновение первичных РД за счет их непрямой аннигиляции [13], когда по мере накопления вблизи включений  $A$ -центров и комплексов  $C_1C_S$  растет доля взаимодействующих с ними собственных междуузельных атомов и вакансий.

При облучении зонного  $n$ -кремния, содержащего ростовые дислокации до  $N_D \approx 2 \cdot 10^4 \text{ см}^{-2}$ , наблюдается примерное равенство скоростей введения РД вакансационного и междуузельного типов ( $\eta_E + \eta_A \approx \eta_{C_1C_S}$ ) [14]. Во всех исследуемых нами кристаллах, как следует из приведенных на рисунке результатов,  $\eta_E + \eta_A > \eta_{C_1C_S}$ . Связано это может быть с тем, что здесь помимо комплексов  $C_1C_S$  накапливаются и другие РД междуузельного типа, которые в условиях эксперимента являются нейтральными. Ими могут быть комплексы  $C_1O_I$  [5], вносящие донорный энергетический уровень в нижнюю половину запрещенной зоны ( $\sim E_F + 0.35 \text{ эВ}$ ). Если считать, что весь междуузельный углерод  $C_1$  при  $T \geq 50^\circ\text{C}$  перестроился в комплексы  $C_1C_S$  и  $C_1O_I$ , то  $\eta_E + \eta_A \approx \eta_{C_1C_S} + \eta_{C_1O_I}$ . Тогда представляется возможным оценить скорость образования комплексов  $C_1O_I(\eta_{C_1O_I})$  в исследуемых кристаллах, которая оказалась равной  $1.8 \cdot 10^{-4} \text{ см}^{-1}$ . Характерно, что с ростом интегрального потока  $\gamma$ -квантов  $\eta_{C_1O_I}$  уменьшается (как и  $\eta_A$ ), но зато увеличивается  $\eta_{C_1C_S}$ . Это обусловлено тем, что увеличение  $\Phi$  приводит к уменьшению концентрации атомов кислорода в примесной атмосфере включений из-за накопления  $A$ -центров и комплексов  $C_1O_I$ , в силу чего междуузельные атомы углерода более эффективно взаимодействуют с узловым углеродом.

Атомы основной легирующей примеси (фосфора) не входят в состав примесной атмосферы включений, но некоторая их часть может находиться в зоне действия полей упругих напряжений, создаваемых включениями. Поэтому в исследуемом материале на начальных этапах облучения при направленной миграции первичных РД  $E$ -центры образуются преимущественно в окрестности включений. Но уже при достаточно малых  $\Phi$  ( $\sim 3 \cdot 10^{16} \text{ см}^{-2}$ ) здесь происходит истощение атомов фосфора, в силу чего и наблюдается уменьшение  $\eta_E$  на начальных потоках облучения. Однако при дальнейшем увеличении  $\Phi$  имеет место некоторое возрастание  $\eta_E$ . Накопление вакансационных и междуузельных комплексов вблизи включений приводит к компенсации создаваемых ими полей упругих напряжений, в результате чего  $E$ -центры образуются преимущественно в матрице кристалла, и  $\eta_E$  сначала растет, а затем уменьшается ( $\Phi > 1 \cdot 10^{18} \text{ см}^{-2}$ ), когда уровень Ферми при облучении смещается к середине запрещенной зоны [15].

В заключение заметим, что установленные особенности в процессах накопления РД имеют место также в бездислокационных кристаллах  $n$ -Si, полученных методом зонной плавки в вакууме, но проявляются здесь менее четко. Очевидно, при выращивании в аргоне условия и режимы роста (прежде всего соотношение скорости и осевого градиента температуры) оказываются наиболее оптимальными для формирования мелких включений, создающих деформационные напряжения в кристаллической решетке кремния. Такие включения могут быть зародышами для некоторых типов микродефектов, выявляемых селективным травлением.

#### Список литературы

- [1] Вопросы радиационной технологии полупроводников / Под ред. Л. С. Смирнова. Новосибирск, 1980. 294 с.
- [2] Watkins G. D., Corbett J. W. // Phys. Rev. 1961. V. 121. N 4. P. 1001–1014.
- [3] Watkins G. D., Corbett J. W. // Phys. Rev. 1964. V. 134A. N 5. P. 1359–1377.
- [4] Watkins G. D., Brower K. L. // Phys. Rev. Lett. 1976. V. 36. N 22. P. 1329–1332.
- [5] Trombetta J. M., Watkins G. D. // Appl. Phys. Lett. 1987. V. 51. N 14. P. 1103–1105.
- [6] Hoffman H. // J. Appl. Phys. 1979. V. 19A. N 3. P. 307–312.
- [7] Рейви К. Дефекты и примеси в полупроводниковом кремнии. М., 1984. 472 с.
- [8] Колковский И. И., Лугаков П. Ф., Шуша В. В. // ФТП. 1979. Т. 23. Б. 5. С. 885–887.

- [9] Junichi C. // Def. Prop. Semicond.: Def. Eng. Symp. Def. Qual. Semicond. Tokyo et al.. 1987. P. 143—153.
- [10] Voronkov V. V. // J. Cryst. Growth. 1982. V. 59. P. 625—643.
- [11] Шейхет Э. Г., Червоный И. Ф., Фалькевич Э. С. // Высокочист. вещества. 1989. № 2. С. 50—55.
- [12] Критская Т. В., Неймарк К. Н., Шклляр Б. Л. // Изв. АН СССР. Неорг. матер. 1986. Т. 22. В. 6. С. 1038—1039.
- [13] Болотов В. В., Васильев А. В., Смирнов Л. С. // ФТП. 1976. Т. 10. В. 9. С. 1787—1789.
- [14] Литвинко А. Г., Макаренко Л. Ф., Мурин Л. И., Ткачев В. Д. // ФТП. 1980. Т. 14. В. 4. С. 776—780.
- [15] Лугаков П. Ф., Лукашевич Т. А. // ФТП. 1989. Т. 23. В. 3. С. 581.

Научно-исследовательский институт  
прикладных физических проблем  
им. А. Н. Севченко при БГУ им. В. И. Ленина  
Минск

Получена 27.06.1990  
Принята к печати 10.09.1990